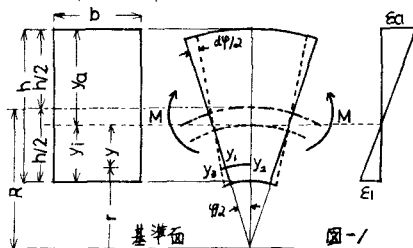


鉄筋コンクリート部材における曲り梁の応力解析

秋田大学 正会員 川上 淳
秋田大学 正会員 德田 弘
○秋田大学 学生会員 木口昌憲

／ まえがき 曲げのみを受けるRC曲線梁に関する応力解析をさうに軸力と曲げを受けるRC曲線梁および異種材料による二層の曲線梁へと発展させとの応力解析を行ったものである。

2) 曲線部材の歪と応力

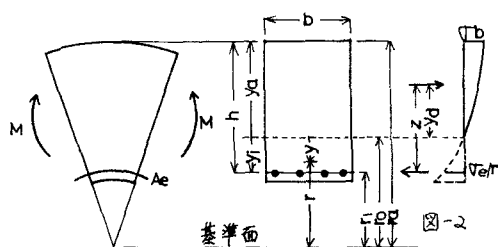


圖一/

図-1 のように曲げを受ける曲線部材の歪応力はそれが次式のとおりである。

$$\sigma = \Sigma \times \varepsilon = \Sigma \times \frac{4 \times d}{r \times \varphi} \quad \text{--- (1)}$$

3 正の曲げを受ける鉄筋コンクリート部材



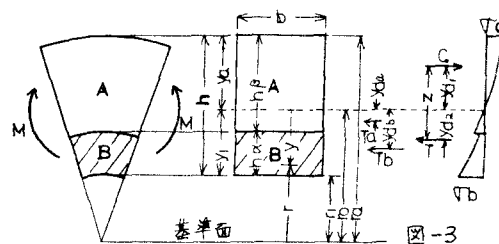
基準面

図-2の鉄筋コンクリート部材における正応力の関係をみると式より部材外端部の応力は、 $\sigma_a = E_a \times \frac{M_a}{I_a}$ によって任意の位置ごとの応力は、 $T = T_a \times \frac{r_a - r}{r_a}$ である。ただしここで体は中立軸の位置より基準面に向う方が正である。また圧縮力は、 $C = \int T dA = \int \frac{r_a - r}{r_a} E_a A_c dr = -E_a \frac{r_a}{r_a} [r_a \ln \frac{r_a}{r_0} - r_0]$ また引張力は $T = T_a A_c$ であり力のつり合い $T = C$ より中立軸の位置を求める式を得る。 $r_0 [r_0 \ln \frac{r_0}{r_0} - r_0] + \frac{M_a - r_0 r_m}{r_0} A_c = 0$ また内力間距離は圧縮力による中立軸に関するモノメント $M_a = C x y d = \int T y dA = \int \frac{r_a - r}{r_a} E_a A_c \left(\frac{r_0}{r_a} \right)^2 dr = E_a \frac{r_0}{r_a} b \left[r_0^2 \ln \frac{r_a}{r_0} - 2r_0 r_a \ln \frac{r_a}{r_0} + r_a^2 \right]$ より $y d = \frac{M_a}{C} = - \frac{r_0 \ln \frac{r_a}{r_0} - 2r_0 r_a \ln \frac{r_a}{r_0} + r_a^2}{r_0^2}$

$$t = \frac{M_1}{C} = - \frac{t_0 \ln \frac{r_a}{r_0} - 2t_0 \gamma a r \frac{n^2 - n_0^2}{2}}{r_0 \ln \frac{r_a}{r_0} - \gamma a}$$

よって $s = x_1 + y_1 = x - x_1 + y_1$ となる。

4 正の曲げを受ける二層部材



3

図-3の二層部材における歪応力の関係は式(3)よりB部材の内側端部の応力は、 $\sigma_B = E_{\text{ex}} \frac{\epsilon_{\text{ex}}}{\mu_1^2 F}$ またA部材の外端部の応力は、 $\sigma_A = E_{\text{ex}} \frac{\epsilon_{\text{ex}}}{\mu_2^2 F}$ があるのでB部材中で任意の位置の応力は、 $(\pm)\sigma_B = E_{\text{ex}} \frac{\epsilon_{\text{ex}}}{\mu_1^2 F}$ またA部材中の任意の位置の応力は、 $(\pm)\sigma_A = E_{\text{ex}} \frac{\epsilon_{\text{ex}}}{\mu_2^2 F}$ である。

$$T_B > T_A \text{ の時の B 部材に働く引張り力は, } T_B = \int \sigma dA$$

$$= \int_{\text{部材}} m \frac{\tau_0}{\rho_0} \delta \frac{\tau_0 - \tau_0}{F} dA = m \frac{\tau_0}{\rho_0} \delta \left[\ln \frac{\tau_0}{\tau_0} - \frac{\tau_0 - \tau_0}{F} \right] \text{ また A 部材に}$$

$$\text{働く引張り力は, } T_A = \int \sigma dA = \int \frac{\tau_0}{\rho_0} \delta \frac{\tau_0 - \tau_0}{F} dA = \frac{\tau_0}{\rho_0} \delta \left[\ln \frac{\tau_0}{\tau_0} - \frac{\tau_0 - \tau_0}{F} \right]$$

$$\text{一方 A 部材に働く圧縮力は, } d = \int \sigma dA = \int \frac{\tau_0}{\rho_0} \delta \frac{\tau_0 - \tau_0}{F} dA$$

$$= -T_A \frac{\tau_0}{\rho_0} \delta \left[\ln \frac{\tau_0}{\tau_0} - \frac{\tau_0 - \tau_0}{F} \right] \text{ でありカのつり合い式}$$

$$y_i = \frac{r_i(m\alpha + \beta) - r_i \ln \frac{r_i}{r_i - R^*} + m \ln \frac{r_i - R^*}{r_i}}{1 - b_i} \quad \rightarrow 2)$$

また内力間距離をみると、AB部材に働く引張力の中立軸

$$\begin{aligned}
 & \text{に} \rightarrow \text{する} E - x \rightarrow T M_2 = T \times y d\omega = (T \times y f_a + T_b \times y f_b) \\
 & = \int T y dA + \int T y dA = \int_{\frac{\pi}{2}-\theta}^{\pi} \int_{\frac{r}{2}}^{r \cos \theta} \frac{r a \beta}{r} \frac{(r \cos \theta)}{r} dr + \int_{\frac{\pi}{2}-\theta}^{\pi} \int_{\frac{r}{2}}^{r \cos \theta} \frac{r a \beta}{r} \frac{(r \sin \theta)}{r} dr \\
 & = m \tau a \frac{r a \beta}{r} \left[\int_{\frac{\pi}{2}-\theta}^{\pi} \ln \frac{r \cos \theta}{r} - r \cos \theta + \frac{(r \cos \theta)^2 - \frac{r^2}{4}}{r^2} \right] + \\
 & + T a \frac{r a \beta}{r} \left[\int_{\frac{\pi}{2}-\theta}^{\pi} \ln \frac{r \sin \theta}{r} - r \sin \theta + \frac{(r \sin \theta)^2 - \frac{r^2}{4}}{r^2} \right]
 \end{aligned}$$

でありまた $M_2 = M_1/T$ であるから

$$Y_{d2} = \frac{r_0 \ln \frac{h_0}{h_0 - R_0^2} - 2\alpha(R_0^2 - h_0^2)}{2} + m \left[r_0^2 \ln \frac{h_0 - R_0^2}{h_0^2} - 2\alpha R_0 h_0 + \frac{(R_0^2 - h_0^2)^2}{2} \right]$$

走在人烟稀少的山林中，常常会遇到一些神秘莫测的自然现象。

$$M_y = C_x y_d = \int q y dA = \int_{r_a}^{r_b} \frac{r_a}{q} e^{-\frac{(r-a)^2}{r}} dr$$

$$= \frac{M_a}{c} \left[\frac{r_2}{r_2 - r_1} \ln \frac{r_2}{r_1} - 2r_1 \beta_{d1} + \frac{r_2^2 - r_1^2}{2} \right] \text{であるから、}$$

$$y_{d1} = \frac{M_a}{c} = - \frac{\frac{r_2}{r_2 - r_1} \ln \frac{r_2}{r_1} - 2r_1 \beta_{d1} + \frac{r_2^2 - r_1^2}{2}}{\frac{r_2}{r_2 - r_1} - \gamma_{d1}}$$

従って、 $Z = y_{d1} + y_{d2}$ となる。また $\beta > \beta_a$ の時の中立軸の位置は式(2)と同じ結果である。また内力間距離は

$$y_{d2} = \frac{\ln \frac{r_2}{r_1} - 2r_1 \beta_{d2} + \frac{r_2^2 - r_1^2}{2}}{\ln \frac{r_2}{r_1} - \gamma_{d2}}$$

$$y_{d2} = \frac{\frac{r_2}{r_2 - r_1} \ln \frac{r_2}{r_1} - 2r_1 \beta_{d2} + \frac{r_2^2 - r_1^2}{2}}{\ln \frac{r_2}{r_1} - \beta_{d2} + m \left[\ln \frac{r_2}{r_1} - \gamma_{d2} \right]}$$

従って $Z = y_{d1} + y_{d2}$ となる。

5. 偏心の大きい軸力を受ける鉄筋コンクリート部材

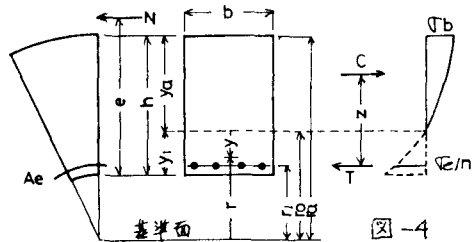


図-4

歪および応力の関係は曲げモーメントが働いた場合と同じである。 N の作用点を基準にしたモーメントのつり合い式より $O = \int T(e-r) - TeAe(e-h)$

$$O = \int \frac{r_2}{r_2 - r_1} \frac{r_2}{r_2 - r_1} \frac{(r_2 - r)}{r} (e-r) dr - TeAe(e-h)$$

$$- \frac{r_2}{r_2 - r_1} + e \gamma_{d1} A e \ln \frac{r_2}{r_1} - m \frac{A e (e-r_1)}{r_2 - r_1} = 0 \quad (3)$$

従って式(3)より中立軸の位置を求めることができる。また基準面を基準にしたモーメントのつり合い式より

$$O = \int T r dA - TeAe(h) - Ne = \int \frac{r_2}{r_2 - r_1} \frac{r_2}{r_2 - r_1} \frac{(r_2 - r)}{r} r dr - TeAe(h) - Ne$$

$$\therefore \gamma_{d1} = \frac{Ne}{Te \left[\frac{r_2}{r_2 - r_1} - m \frac{A e}{r_2 - r_1} \right]} \quad (4)$$

従って式(4)により応力を求めることができる。また図4のカのつり合いおよびモーメントのつり合いより、

$$C = N + TeAe, \quad M = N(e - r_1) = C \cdot Z$$

$$\therefore \frac{M}{N} = \frac{Z}{e - r_1} = \frac{e}{1 - m \frac{A e}{r_2 - r_1} - x_1 / \left[1 - \frac{r_2}{r_2 - r_1} \ln \frac{r_2}{r_1} \right]} \quad (5)$$

従って式(5)より直線ばかりにおけるモーメントのつり合い式より中立軸の位置を求める。 $\beta > \beta_a$ の時

$$\int T(e-r) dA - \int T(e-r) dA - \int T(e-r) dA = 0$$

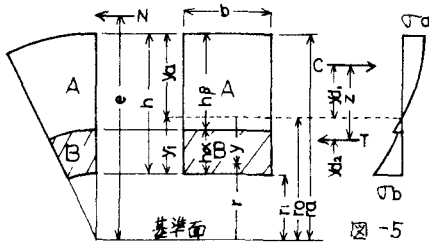


図-5

$$\int \frac{r_2}{r_2 - r_1} \frac{r_2}{r_2 - r_1} \frac{(r_2 - r)}{r} (e-r) dr - \int \frac{r_2}{r_2 - r_1} \frac{r_2}{r_2 - r_1} \frac{(r_2 - r)}{r} (e-r) dr -$$

$$- \int \frac{r_2}{r_2 - r_1} \frac{r_2}{r_2 - r_1} \frac{(r_2 - r)}{r} (e-r) dr$$

$$\therefore \gamma_{d1} = \frac{e + r_1 (m + \beta) - [(r_2 - r_1)^2 (m - 1) + r_2^2 - m r_1^2] / 2}{e [\ln \frac{r_2}{r_2 - r_1} + m \ln \frac{r_2 - r_1}{r_2}] - r_1 r_2 (m + \beta)} \quad (6)$$

従って式(6)より $\gamma_{d1} = r_2 - h_2$ によって中立軸の位置が求まる。また基準面を基準にしたモーメントのつり合いより $\int T r dA - \int T r dA - \int T r dA - N e = 0$

$$\int \frac{r_2}{r_2 - r_1} \frac{r_2}{r_2 - r_1} \frac{(r_2 - r)}{r} r dr - \int \frac{r_2}{r_2 - r_1} \frac{r_2}{r_2 - r_1} \frac{(r_2 - r)}{r} r dr -$$

$$- \int m \gamma_{d1} \frac{r_2}{r_2 - r_1} \frac{r_2}{r_2 - r_1} \frac{(r_2 - r)}{r} r dr = 0$$

$$\therefore \gamma_{d1} = \frac{N e}{\frac{r_2}{r_2 - r_1} \left[(r_2 - r_1)^2 + m \left[\ln \frac{r_2}{r_2 - r_1} - \frac{(r_2 - r_1)^2 - r_1^2}{2} \right] \right]} \quad (7)$$

従って応力が式(7)より求めることができます。またカのつり合いおよびモーメントのつり合い

$$C = N + T, \quad M = N(e - r_1) = C \cdot Z \text{ より}$$

$$e = \frac{C \times Z}{C - T} + \gamma_{d1} = \frac{\ln \frac{r_2}{r_1} - \gamma_{d1}}{\ln \frac{r_2}{r_2 - r_1} - R \beta + m \left[\ln \frac{r_2}{r_2 - r_1} - R \beta \right]} \times Z + \gamma_{d1}$$

従って二層部材におけるメルシューの図表を求めることができます。同様に $\beta > \beta_a$ の時は中立軸の位置、応力の算定の式は式(6)、式(7)と同じ式となりメルシューの図表を得るための式は次のようになる。

$$e = \frac{\ln \frac{r_2}{r_2 - r_1} - R \beta + m \left[\ln \frac{r_2}{r_2 - r_1} - R \beta - \gamma_{d1} \right]}{\ln \frac{r_2}{r_2 - r_1} - R \beta + m \left[\ln \frac{r_2}{r_2 - r_1} - R \beta \right]} \times Z + \gamma_{d1}$$

7. あとがき

それぞれ誘導した式に關し曲率半径を無限大にすると直線梁の場合の式と一致する。また計算図表は紙上の都合で省略し当日登表の予定である。なお図表の作製については北海道大学大型計算機を利用した。

参考文献

1). Boris Topaloff, "Berechnung des gekrümmten Stahlbetonbalkens" Beton und Stahlbetonbau 1960

2). R.H.Dawoud et al, "Flexural Stresses in Rectangular Reinforced Concrete Curved members" ACI Journal vol 67, No 3 1970